



Белорусский государственный медицинский университет, г. Минск
Кафедра морфологии человека



ВАРИАНТНАЯ АНАТОМИЯ ПОДГЛАЗНИЧНОГО ОТВЕРСТИЯ И ПОДГЛАЗНИЧНОГО КАНАЛА ПО ДАНЫМ КОНУСНО-ЛУЧЕВОЙ КОМПЬЮТЕРНОЙ ТОМОГРАФИИ

Юферева М.П.

Студентка 1-ого курса стоматологического факультета группы 7109

*Научные руководители: д-р мед. наук, проф. Кабак С.Л., канд. мед. наук,
доц. Мельниченко Ю.М.*

Цель

Выявить индивидуальные особенности расположения и размеров основного и добавочных подглазничных отверстий, а также дистальной части подглазничного канала с помощью конусно-лучевой компьютерной томографии

Материал и методы

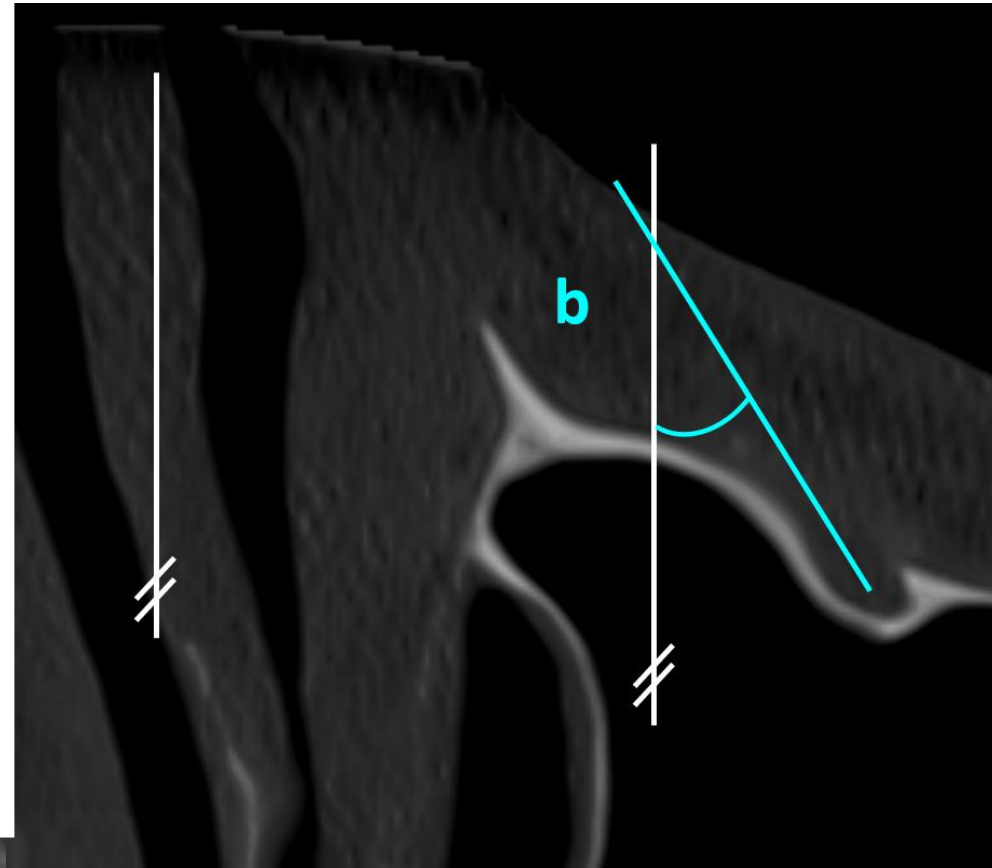
- 156 КЛКТ-сканов стоматологических и ЛОР-пациентов
- **Возраст:** от 16 до 84 лет
- **Пол:** 62 мужчины и 94 женщины
- **Морфометрические параметры:** горизонтальный и передний углы отклонения дистального отдела подглазничного канала; вертикальный и горизонтальный диаметры подглазничного отверстия, расстояние до носовой вырезки и подглазничного края, толщина мягких тканей лица на уровне подглазничного отверстия; количество и расположение добавочных подглазничных отверстий относительно основного

Материал и методы

Передний (a) и горизонтальный (b) углы отклонения дистальной части подглазничного канала относительно аксиальной и сагиттальных плоскостей, параллельных твердому небу и перегородке носа соответственно



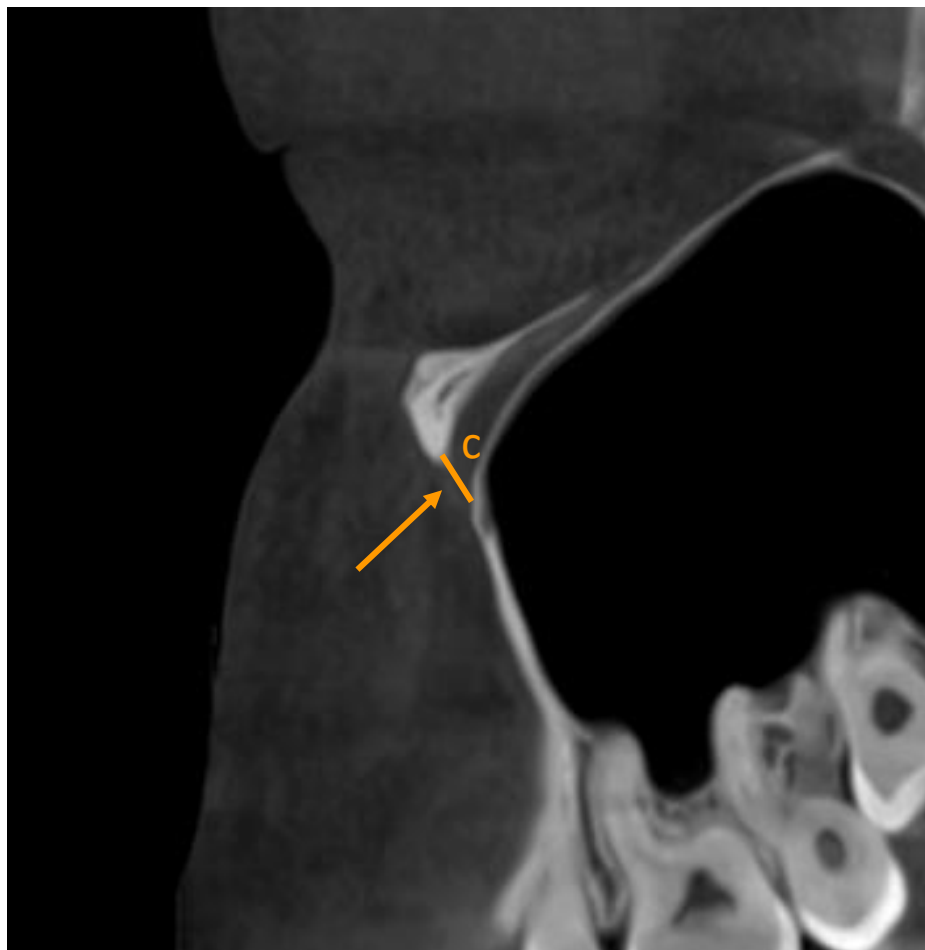
КЛКТ, сагиттальный скан



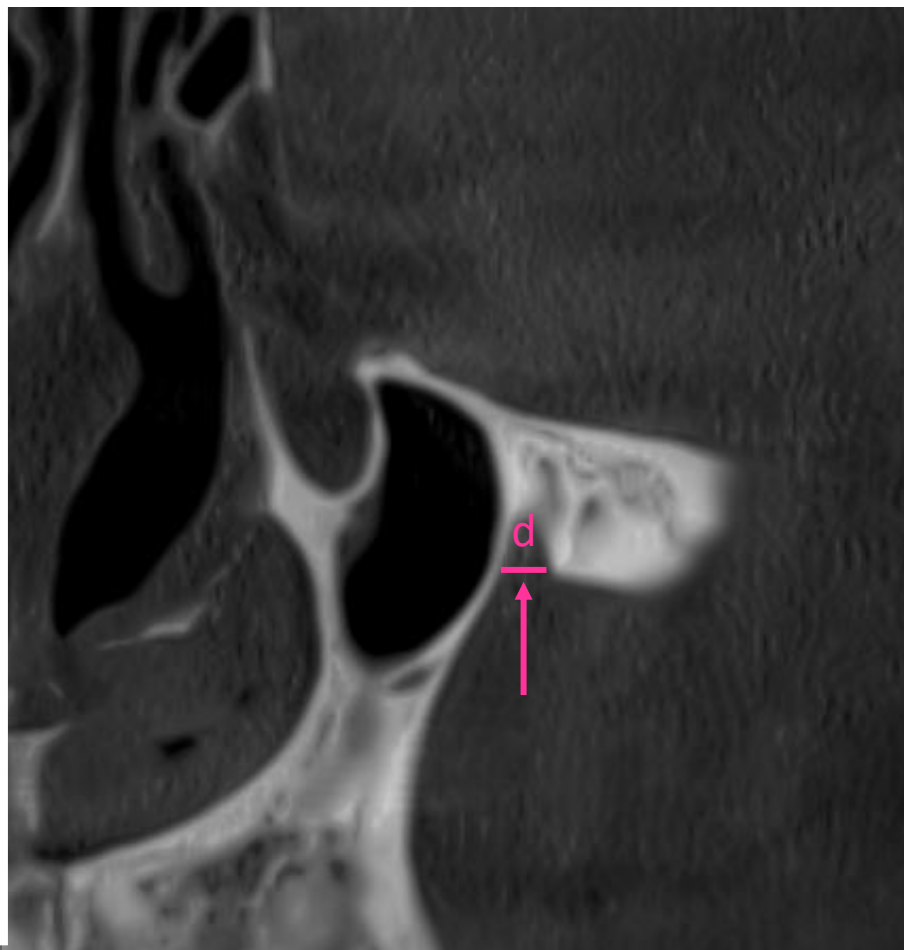
КЛКТ, аксиальный скан

Материал и методы

Максимальные вертикальный (с) и горизонтальный (d) диаметры подглазничного отверстия



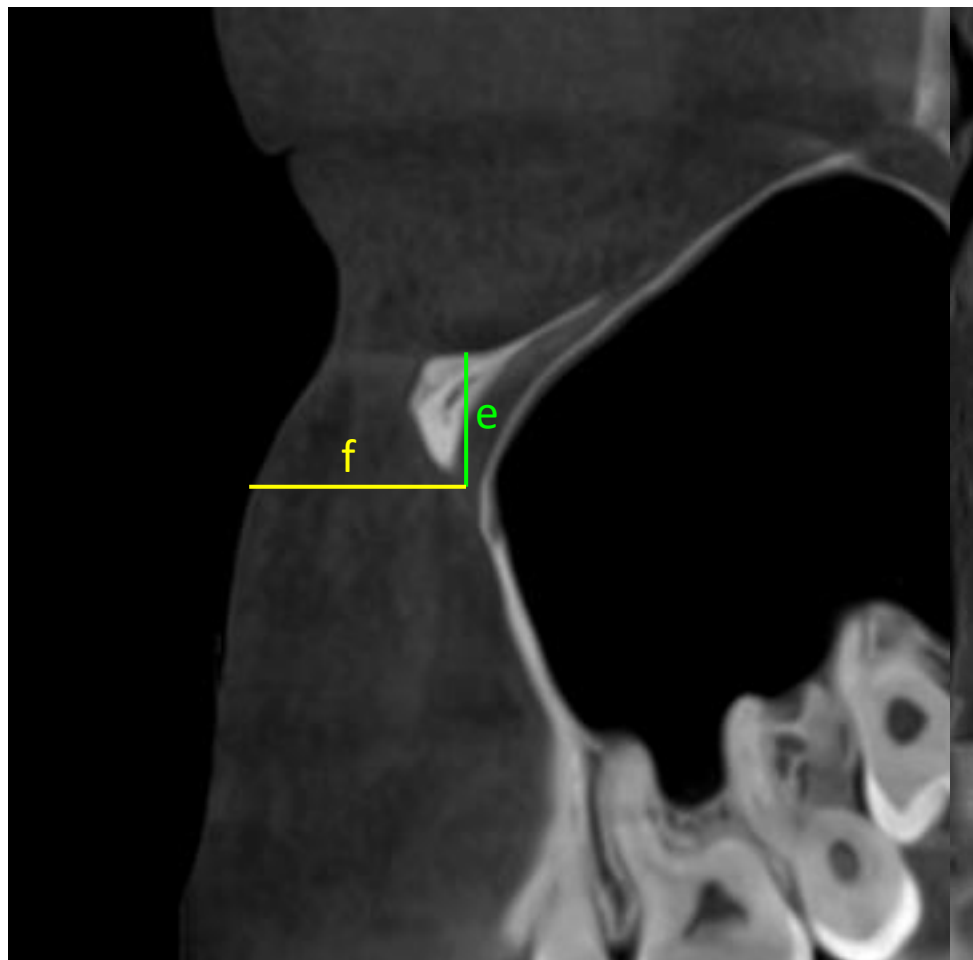
КЛКТ, сагиттальный скан



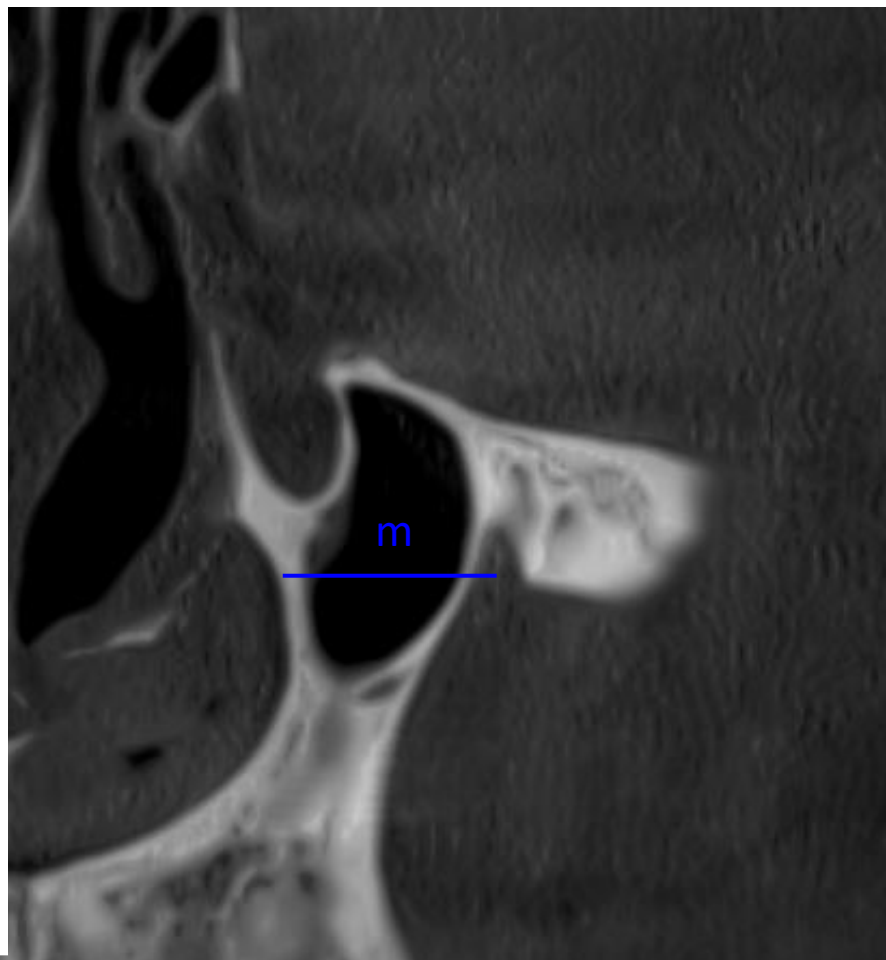
КЛКТ, фронтальный скан

Материал и методы

Удаленность от подглазничного края (e) и носовой вырезки (m), толщина мягких тканей лица (f) на уровне отверстия

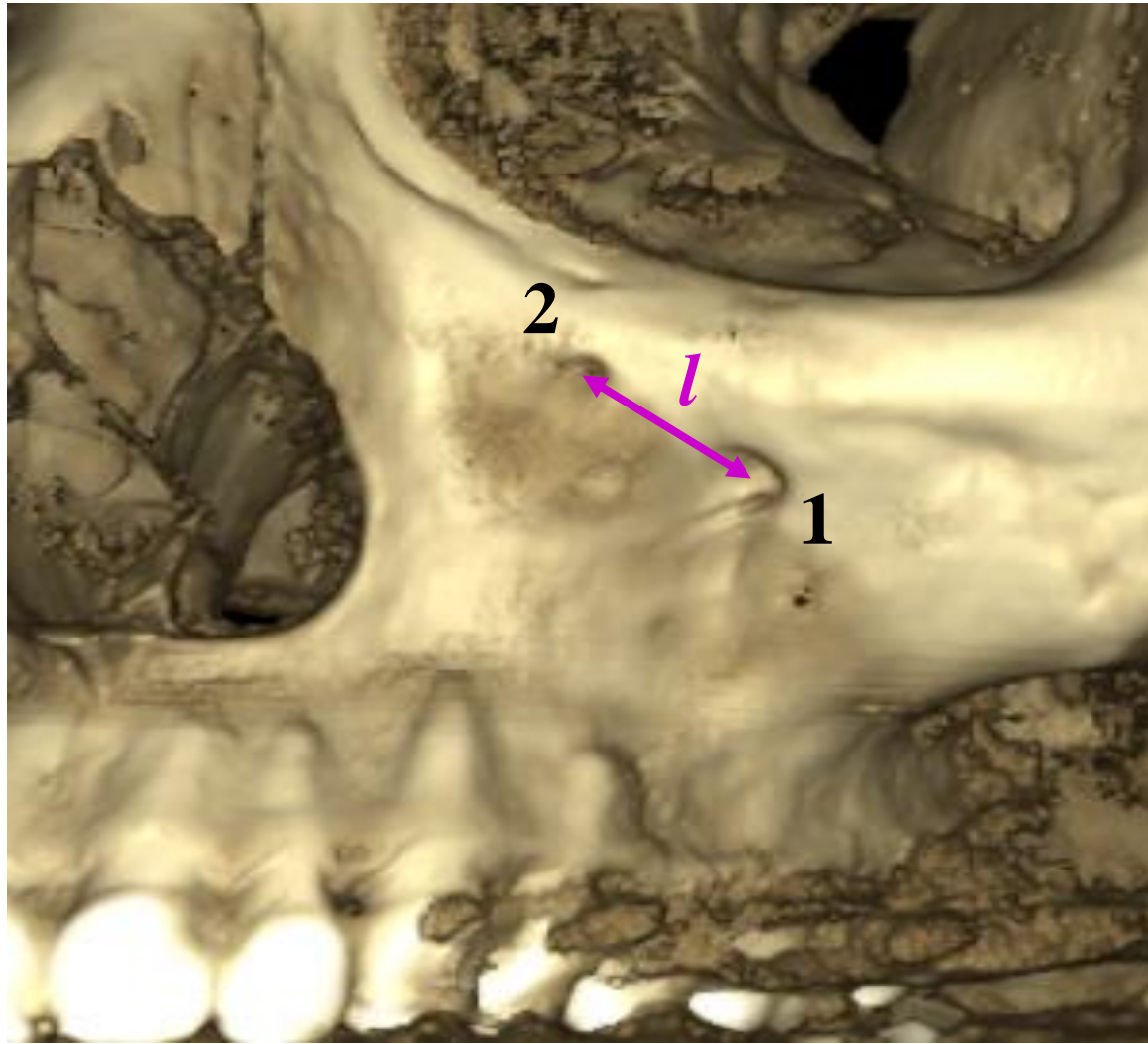


КЛКТ, сагиттальный скан



КЛКТ, фронтальный скан

Материал и методы



КЛКТ, Объёмный рендеринг.
Основное (1) и добавочное (2) подглазничные
отверстия

l - расстояние между основным и добавочными
отверстиями

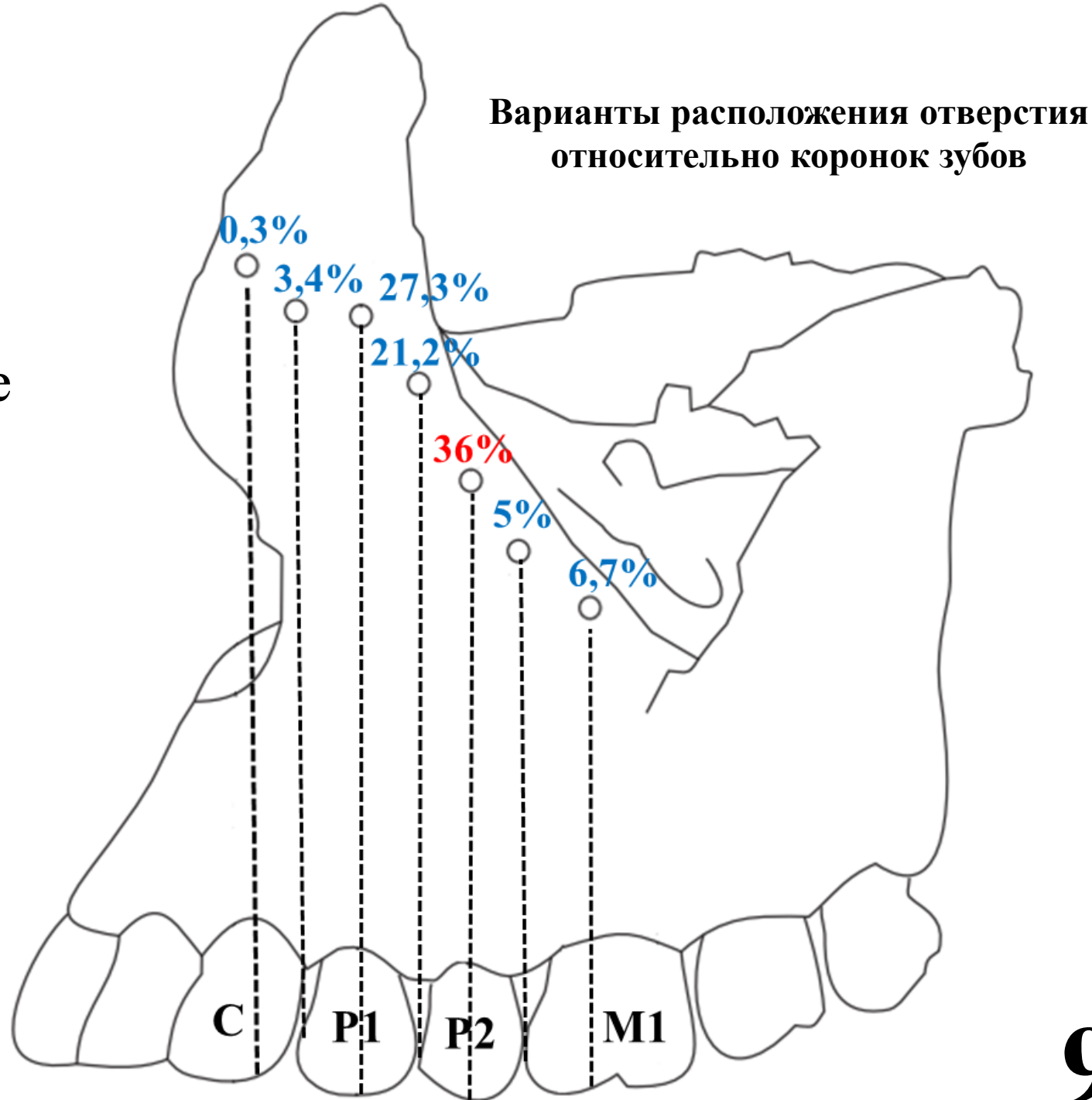
Результаты

| Параметр | n | M±SD | min-max |
|---|-----|------------|------------|
| вертикальный диаметр отверстия, мм | 310 | 3,29±0,58 | 1,13-4,99* |
| горизонтальный диаметр отверстия, мм | 310 | 3,46±0,75 | 1,7-5,99* |
| расстояние от центра отверстия до подглазничного края, мм | 307 | 9,08±1,75 | 4,8-14,2 |
| расстояние от центра отверстия до носовой вырезки, мм | 309 | 12,13±2,87 | 2,8-20,2* |
| толщина мягких тканей на уровне отверстия, мм | 308 | 12,13±2,54 | 6-25 |
| угол отклонения канала от горизонтальной плоскости, градусы | 309 | 54,5±12,18 | 25,1-84,8 |
| угол отклонения канала от сагиттальной плоскости, градусы | 309 | 30,3±13,76 | 0-77,23** |

Примечание: * - статистически значимые гендерные различия, ** - статистически значимые слева и справа

Результаты

Подглазничное отверстие
в большинстве случаев
(**36% пациентов**)
локализовалось в
проекции **второго**
верхнего премоляра

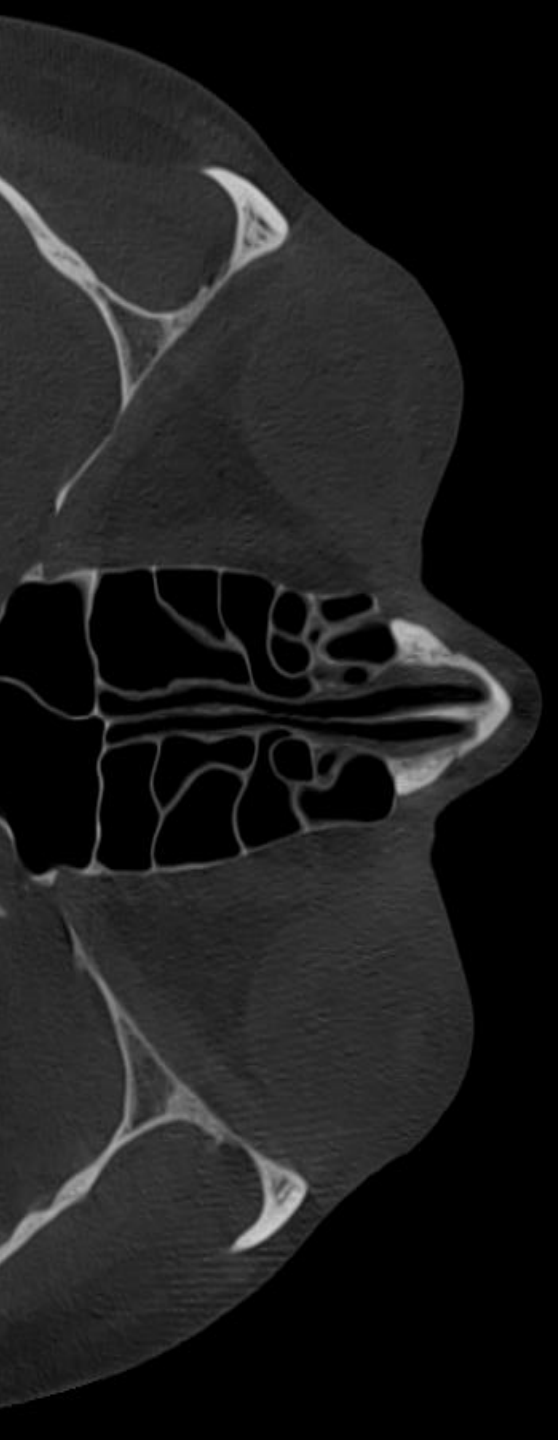


Результаты

- У **30%** пациентов было найдено в общей сложности **39** **добавочных** подглазничных отверстий
- У **8-ми** человек добавочные отверстия определялись с **двух** **сторон**, а у **22-х** человек – с **одной** стороны
- На одной половине головы было обнаружено одновременно два добавочных отверстия
- У абсолютного большинства пациентов отверстия располагались **сверху и с медиальной** стороны по отношению к основному подглазничному отверстию, и только в одном случае – сверху и латерально
- Расстояние между добавочным и основным подглазничными отверстиями варьировало в диапазоне от **3,73** мм до **14,5** мм

Выводы

- Топография подглазничного отверстия характеризуется выраженной индивидуальной вариабельностью
- Точная локализация основного и дополнительного подглазничных отверстий с помощью КЛКТ на этапе планирования операций в области средней трети лица позволяет избежать ятрогенного повреждения ветвей подглазничного нерва и сосудов



Спасибо за внимание!